

## НИЗКОТЕМПЕРАТУРНЫЕ ФОТОЛЮМИНЕСЦЕНЦИЯ И ФОТОПРОВОДИМОСТЬ В НЕЛЕГИРОВАННЫХ АМОРФНЫХ ПОЛУПРОВОДНИКАХ

Абдукадыров А. Г., Барановский С. Д., Ивченко Е. Л.

Построена количественная теория междупарной излучательной рекомбинации носителей в аморфном полупроводнике при низких температурах. Наряду с процессами электронно-дырочной рекомбинации учитываются процессы прыжковой энергетической релаксации электронов и дырок по локализованным состояниям хвостов зон.

Выведена система нелинейных интегральных уравнений, позволяющая рассчитать функцию распределения неравновесных носителей по локализованным состояниям в условиях стационарной генерации. Эта система уравнений решена численно на ЭВМ, и получены спектры фотолюминесценции, обусловленной туннельной излучательной рекомбинацией электронов и дырок, локализованных в хвостах зон. Рассчитана фотопроводимость, связанная с прыжковым движением электронов в процессе энергетической релаксации. Результаты расчета неплохо согласуются с экспериментальными данными для гидрированного аморфного кремния.

В настоящей работе в рамках единого подхода рассчитаны низкотемпературные спектр фотолюминесценции и фотопроводимость нелегированного аморфного полупроводника при стационарном оптическом возбуждении. Рассмотрение проводится для режима междупарной рекомбинации (см. [1]), когда среднее расстояние между близнецовыми электроном и дыркой превышает среднее расстояние между ближайшими локализованными фотоносителями, рожденными в разных актах поглощения света. Другой предельный случай, в котором фотолюминесценция происходит преимущественно за счет близнецовой рекомбинации, исследовался отдельно [2].

Теория строится на основе картины стационарного заселения фотоносителями локализованных состояний, аналогичной той, которая рассматривалась в [1]: рожденные светом дelokализованные электроны и дырки быстро релаксируют по энергии и захватываются на локализованные состояния; основным каналом рекомбинации локализованных фотоносителей является их туннельная излучательная рекомбинация. В отличие от [1] мы учитываем здесь наряду с процессами электронно-дырочной рекомбинации внутрizonные туннельные прыжки локализованных носителей между центрами локализации. Анализ задачи в такой постановке, проведенный в [3], носит лишь качественный характер и не позволяет найти распределение неравновесных носителей по энергии и рассчитать форму спектра фотолюминесценции.

Основное внимание при построении теории уделяется учету экспоненциальной зависимости времени внутрizonного туннельного прыжка  $t_l(r)$  и времени электронно-дырочной туннельной рекомбинации  $\tau(R)$ :

$$\begin{aligned} t_l(r) &= \omega_l^{-1} \exp(2r/a_l), \\ \tau(R) &= \tau_0 \exp(2R/a_0). \end{aligned} \quad (1)$$

Здесь  $r$  — расстояние между центрами локализации,  $R$  — расстояние между электроном и дыркой, сорт носителей различается индексом  $l$ , принимающим одно из двух значений:  $e$  для электронов и  $h$  для дырок,  $a_l$  — радиус локализации носителей сорта  $l$ ,  $a_0 = \max(a_e, a_h)$ ,  $\omega_l^{-1}$ ,  $\tau_0$  — предэкспоненциальные множители ( $\omega_l \tau_0 \gg 1$ ). Величины  $a_l$ ,  $\omega_l$  и  $\tau_0$  рассматриваются как параметры

теории, т. е. пренебрегается их возможной энергетической зависимостью. Мы также не учитываем зависимость сечения захвата делокализованного носителя на центр локализации от энергии связи. В этом приближении скорость генерации частиц сорта  $l$ , захватываемых из делокализованных состояний на состояния с энергией связи  $\varepsilon_l$ , определяется простым выражением

$$G_l^{(0)}(\varepsilon_l) = G \tilde{g}_l(\varepsilon_l) / \tilde{p}_l(0). \quad (2)$$

Здесь  $G$  — скорость генерации электронов (или дырок) в единице объема, пропорциональная интенсивности возбуждающего света,  $\tilde{g}(\varepsilon)$  — энергетическая плотность незаполненных состояний,  $\tilde{p}(\varepsilon)$  — концентрация незанятых локализованных состояний с энергией связи, превышающей  $\varepsilon$ ,

$$\tilde{p}(\varepsilon) = \int_{\varepsilon}^{\infty} \tilde{g}(\varepsilon') d\varepsilon', \quad (3)$$

где с учетом быстрого убывания функции  $\tilde{g}(\varepsilon)$  с ростом  $\varepsilon$  верхний предел интегрирования продлен до  $+\infty$ . Для краткости записи в (3) и в тех случаях, в которых это не приводит к ущербу для изложения, индекс  $l$  опускается. Условие низкой температуры позволяет пренебречь прыжками вверх по энергии, так что вероятность прыжка в единицу времени связана с временем  $t(r)$  соотношением  $w(r) = t^{-1}(r) \theta(\varepsilon' - \varepsilon)$ , где  $\varepsilon$  и  $\varepsilon'$  — энергии связи носителя в начальном и конечном состояниях,  $\theta(x) = 1$  при  $x \geq 0$ ,  $\theta(x) = 0$  при  $x < 0$ .

Состояние локализованного электрона или дырки характеризуется тремя параметрами:  $\varepsilon$ ,  $R$  и  $r$ , где  $\varepsilon$  — энергия связи (отсчитанная от соответствующей границы подвижности),  $R$  — расстояние до ближайшего локализованного носителя другого сорта,  $r$  — расстояние до ближайшего незаполненного локализованного состояния с большей энергией связи  $\varepsilon' > \varepsilon$ . Это означает, что мы пренебрегаем пространственной корреляцией между цепочкой локализованных состояний, последовательно занимаемых одним и тем же носителем при его релаксации по энергии, т. е. рассматриваем релаксацию как марковский процесс. В этом приближении уравнение кинетики для стационарной степени заселенности  $f$  состояния  $(\varepsilon, R, r)$  имеет следующий вид:

$$\frac{f(\varepsilon, R, r)}{\tau(R, r)} = \Gamma(\varepsilon) [1 - f(\varepsilon, R, r)], \quad (4)$$

где  $\tau(R, r)$  — время жизни. Функцию  $\Gamma(\varepsilon)$  в приходном члене удобно представить в виде отношения

$$\Gamma(\varepsilon) = G(\varepsilon) / \tilde{g}(\varepsilon), \quad (5)$$

выделив в знаменателе энергетическую плотность незаполненных состояний  $\tilde{g}(\varepsilon) = g(\varepsilon) - n(\varepsilon)$ , где  $g(\varepsilon)$  — энергетическая плотность любых состояний,  $n(\varepsilon)$  — функция распределения частиц по энергии, связанная с  $f(\varepsilon, R, r)$  интегральным соотношением

$$n(\varepsilon) = \iint g(\varepsilon, R, r) f(\varepsilon, R, r) dR dr. \quad (6)$$

Здесь  $g(\varepsilon, R, r)$  — плотность состояний в пространстве переменных  $\varepsilon$ ,  $R$  и  $r$ :

$$g(\varepsilon, R, r) = g(\varepsilon) P_N(R) P_\varepsilon(r). \quad (7)$$

По определению,  $P_N(R) dR$  есть вероятность найти вновь рождаемой частице ближайшего соседа другого сорта на расстоянии от  $R$  до  $R + dR$ , а  $P_\varepsilon(r) dr$  — вероятность найти незаполненное состояние с энергией связи  $\varepsilon$  на расстоянии от  $r$  до  $r + dr$ . В предположении о случайном распределении в пространстве носителей одного сорта и незаполненных центров локализации имеем

$$\begin{aligned} P_N(R) &= 4\pi R^2 N \exp[-V(R)N], \\ P_\varepsilon(r) &= 4\pi r^2 \tilde{p}(\varepsilon) \exp[-V(r)\tilde{p}(\varepsilon)], \end{aligned} \quad (8)$$

где  $V(R) = 4\pi R^3/3$ ,  $N$  — стационарная концентрация носителей одного сорта.

Функция  $G(\epsilon)$  в (5) есть энергетическая плотность скорости генерации частиц в состоянии  $\epsilon$  при произвольном числе предшествующих прыжков. Для определения этой функции нужно вывести еще одно уравнение. Заметим, что с учетом внутризонного туннелирования  $G(\epsilon)$  не совпадает со скоростью генерации  $G^{(0)}(\epsilon)$  частиц, захватываемых из делокализованных состояний: величина  $Q = G^{-1} \int G(\epsilon) d\epsilon - 1$  определяет среднее число туннельных прыжков, совершаемых фотоносителем за время жизни.

Для вывода еще одного соотношения, связывающего  $n(\epsilon)$  и  $G(\epsilon)$  [или  $\Gamma(\epsilon)$ ], необходимо учесть пространственную корреляцию в относительном расположении частиц разного сорта в условиях стационарного освещения. Как и в [1], учет этой корреляции осуществляется введением эффективного радиуса реакции  $R_N$ : в области  $R \simeq R_N$  стационарная функция распределения по расстоянию между ближайшими электроном и дыркой должна резко возрастать, а функция распределения по расстоянию между рекомбинирующими носителями разного сорта должна резко обрываться. Введение величины  $R_N$  позволяет разделить частицы, приходящие в состояние с энергией связи  $\epsilon$ , на те, которые в процессе туннельной релаксации оказались на расстоянии  $R < R_N$  от ранее рожденной частицы другого сорта и успевают рекомбинировать с нею, те, которые прыгают вниз по энергии, и те, которые попали в полость относительно ранее рожденных частиц другого сорта ( $R > R_N$ ), живут сравнительно долго и рекомбинируют лишь после рождения в их окрестности новых частиц. С экспоненциальной точностью время жизни  $\tau(R, r)$  в (4) в каждом из этих трех случаев можно записать соответственно в виде

$$\tau_l(R, r) = \begin{cases} \tau(R) & \text{при } R, r \in \Omega_1^l, \\ t_l(r) & \text{при } R, r \in \Omega_0^l, \\ T_l & \text{при } R, r \in \Omega_1^l. \end{cases} \quad (9)$$

Здесь  $T_l$  — среднее время прихода в сферу радиуса  $R_N$  частицы, рекомбинирующей с расположенной в центре сферы частицей сорта  $l$ . По определению величины  $R_N$ , время  $\tau(R_N)$  связано с  $T_s, T_h$  соотношением

$$\frac{1}{\tau(R_N)} = \frac{1}{T_s} + \frac{1}{T_h}. \quad (10)$$

Области  $\Omega_s^l$  в (9) задаются неравенствами  $R < R_N, r > r_R^l$  ( $s = -1$ );  $R < R_N, r < r_R^l$  или  $R > R_N, r < r_N^l$  ( $s = 0$ );  $R > R_N, r > r_N^l$  ( $s = 1$ ), где

$$r_R^l = \frac{a_l}{a_0} \left( R + \frac{a_0}{2} \ln \omega_l \tau_0 \right), \quad r_N^l = \frac{a_l}{2} \ln \omega_l T_l. \quad (11)$$

Заметим, что значения индекса  $s = \pm 1, 0$  указывают, на сколько изменится число долгоживущих частиц (с  $R > R_N, r > r_N$ ) после прихода в состояние  $\epsilon$  еще одной частицы. Умножив правую часть (4) на  $g(\epsilon, R, r)$ , проинтегрировав ее по области  $\Omega_s$  переменных  $R, r$  и разделив на скорость генерации  $G$ , находим вероятности  $w_s(\epsilon)$  того, что частица в состоянии  $\epsilon$  прорекомбинирует с ранее рожденной частицей ( $s = -1$ ), прыгнет вниз по энергии ( $s = 0$ ) или попадет в полость  $\Omega_1$  и прорекомбинирует с позже рожденной частицей:

$$w_s(\epsilon) = \bar{g}^{-1}(\epsilon) [g(\epsilon) w_s^{(0)}(\epsilon) - n_s(\epsilon)]. \quad (12)$$

Здесь

$$w_s^{(0)}(\epsilon) = \iint_{\Omega_s} P_N(R) P_s(r) dR dr, \quad (13)$$

а  $n_s(\epsilon)$  получается из (6) интегрированием по области  $\Omega_s$ .

Приведем самосогласованную систему нелинейных интегральных уравнений для нахождения функций  $G(\epsilon)$  и  $n(\epsilon)$ :

$$G(\varepsilon) = G \frac{\tilde{g}(\varepsilon)}{\tilde{p}(0)} \exp \left[ \int_0^\varepsilon w_0(\varepsilon') \frac{\tilde{g}(\varepsilon')}{\tilde{p}(\varepsilon')} d\varepsilon' \right], \quad (14)$$

$$w_0(\varepsilon) = \tilde{g}^{-1}(\varepsilon) [g(\varepsilon) w_0^{(0)}(\varepsilon) - n_0(\varepsilon)], \quad (15)$$

$$n(\varepsilon) = \sum_s n_s(\varepsilon), \quad (16)$$

$$n_s(\varepsilon) = g(\varepsilon) \int \int_{\Omega_s} P_N(R) P_\varepsilon(r) f(\varepsilon, R, r) dR dr, \quad (17)$$

$$f(\varepsilon, R, r) = \frac{\Gamma(\varepsilon) \tau(R, r)}{1 + \Gamma(\varepsilon) \tau(R, r)}, \quad \Gamma(\varepsilon) = \frac{G(\varepsilon)}{\tilde{g}(\varepsilon)}. \quad (18)$$

Уравнение (15) получается из (12) при  $s=0$ , уравнения (17), (18) — из (4), (6), (9). Для вывода уравнения (14) нужно учесть, что скорости генерации  $G^{(m)}(\varepsilon)$ ,  $G^{(m+1)}(\varepsilon)$  в состоянии  $\varepsilon$  частиц, совершивших до этого соответственно  $m$  и  $m+1$  прыжков, связаны интегральным соотношением

$$G^{(m+1)}(\varepsilon) = \int_0^\varepsilon G^{(m)}(\varepsilon') w_0(\varepsilon') \frac{\tilde{g}(\varepsilon')}{\tilde{p}(\varepsilon')} d\varepsilon'. \quad (19)$$

Суммируя левую и правую части этого соотношения по  $m$  и учитывая, что  $G^{(0)}(\varepsilon) = G\tilde{g}(\varepsilon)/\tilde{p}(0)$ , получаем уравнение

$$G(\varepsilon) = \tilde{g}(\varepsilon) \left[ \frac{G}{\tilde{p}(0)} + \int_0^\varepsilon G(\varepsilon') w_0(\varepsilon') \frac{d\varepsilon'}{\tilde{p}(\varepsilon')} \right], \quad (20)$$

решение которого при заданной функции  $w_0(\varepsilon)$  приведено в (14). Можно проверить, что выражение (14) для  $G(\varepsilon)$  удовлетворяет закону сохранения числа частиц

$$G_{-1}^I + G_1^I = G, \quad (21)$$

где

$$G_s^I = \int G^I(\varepsilon_1) w_s^I(\varepsilon_1) d\varepsilon_1. \quad (22)$$

При проверке удобно воспользоваться тождествами

$$\sum_s w_s(\varepsilon) = 1, \quad \int_0^\varepsilon \frac{\tilde{g}(\varepsilon')}{\tilde{p}(\varepsilon')} d\varepsilon' = \ln \frac{\tilde{p}(0)}{\tilde{p}(\varepsilon)}. \quad (23)$$

В рассматриваемой картине заселения локализованных состояний фотоносителями интегральные скорости генерации маложивущих частиц одного сорта и долгоживущих частиц другого сорта должны совпадать:

$$G_s^* = G_{-s}^h, \quad (s=1 \text{ или } -1). \quad (24)$$

С учетом закона сохранения (21) любое из этих двух соотношений (например, при  $s=1$ ) является следствием другого. Оно служит условием для нахождения радиуса реакции  $R_N$  при заданном значении скорости генерации  $G$ .

Умножая  $G_1^I$  на время  $T_1$ , получим концентрацию долгоживущих частиц

$$N \equiv \int n_1(\varepsilon) d\varepsilon = G T_1, \quad (25)$$

откуда, используя (10), (21) и (24), получаем

$$N/\tau(R_N) = G, \quad (26)$$

$$T_1 = \tau(R_N) G/G_1^I. \quad (27)$$

Заметим, что процедура расчета функции  $G(\varepsilon)$ , согласно (19), (20), и пренебрежение дисперсией времени жизни частиц, попадающих в полости  $R > R_N$ ,

$r > r_N$ , эквивалентны приближению «среднего поля», часто используемому при решении физических задач.

Приведем теперь формулы для фотопроводимости и интенсивности фотолюминесценции, полученные в рамках развитой выше теории. Согласно (9), фотолюминесценция обусловлена рекомбинацией носителей, оказавшихся в процессе энергетической релаксации на расстоянии  $R < R_N$  от долгоживущего носителя другого сорта и не успевающих за время  $\tau(R)$  совершить туннельный прыжок вниз по энергии ( $r > r_R$ ). Поэтому спектральная зависимость интенсивности фотолюминесценции описывается выражением

$$J(\hbar\omega) \propto \int_0^{E_0 - \hbar\omega} d\varepsilon_e [n_1^l(\varepsilon_h) G^e(\varepsilon_e) w_{-1}^e(\varepsilon_e) + n_1^e(\varepsilon_e) G^h(\varepsilon_h) w_{-1}^h(\varepsilon_h)], \quad (28)$$

где  $w_{-1}^e(\varepsilon_e)$  — вероятность частице сорта  $l$  в состоянии  $\varepsilon_l$  рекомбинировать с долгоживущей частицей другого сорта,  $n_1^e(\varepsilon_e)$  — функция распределения по энергии долгоживущих носителей сорта  $l$ ,  $E_0$  — щель подвижности,  $\varepsilon_h = E_0 - \hbar\omega - \varepsilon_e$ . Функции  $w_{-1}(\varepsilon)$  и  $n_1(\varepsilon)$  можно представить в виде

$$w_{-1}(\varepsilon) = \frac{g(\varepsilon)}{\bar{g}(\varepsilon)} \int_0^{R_N} \frac{P_N(R) \exp\{-V(r_R) \bar{p}(\varepsilon)\}}{1 + \Gamma(\varepsilon) \tau(R)} dR, \quad (29)$$

$$n_1(\varepsilon) = g(\varepsilon) \exp[-V(R_N)N - V(r_N) \bar{p}(\varepsilon)] f_1(\varepsilon), \quad (30)$$

где

$$f_1^l(\varepsilon_l) = \{1 + [\Gamma^l(\varepsilon_l) T_l]^{-1}\}^{-1}.$$

При низкой температуре фотопроводимость связана с туннельными прыжками носителей вниз по энергии в электрическом поле  $E$ . Так как при прыжке на вектор  $\mathbf{r}$  из состояния с энергией связи  $\varepsilon$  в состояние  $\varepsilon'$  энергия частицы меняется на величину  $\varepsilon - \varepsilon' - qE\mathbf{r}$  ( $q$  — заряд электрона или дырки) и эта величина должна быть отрицательна, для плотности тока электронов или дырок получаем

$$j = q \int d\varepsilon' \int_0^{\infty} dR \int_0^{r_R} dr \int (d\Omega_r/4\pi) r \int_0^{\varepsilon' + qE\mathbf{r}} d\varepsilon g(\varepsilon, R, r) \Gamma(\varepsilon) [1 - f(\varepsilon, R, r)] \bar{g}(\varepsilon')/\bar{p}(\varepsilon), \quad (31)$$

где  $d\Omega_r$  — элемент телесного угла в  $r$ -пространстве,  $r_R = r_R$  при  $R < R_N$  и  $r_N$  при  $R > R_N$ , функция  $g(\varepsilon, R, r)$  определена согласно (7). Здесь учтено, что носитель, находящийся в состоянии  $(\varepsilon, R, r)$ , не рекомбинирует, а прыгает вниз по энергии при условии  $(R, r) \in \Omega_0$ . В линейном по электрическому полю приближении получаем

$$j = E \int [\sigma_{\Phi\Pi}^e(\varepsilon) + \sigma_{\Phi\Pi}^h(\varepsilon)] d\varepsilon,$$

$$\sigma_{\Phi\Pi}^l(\varepsilon) = \frac{q^2}{3} \frac{g^l(\varepsilon)}{\bar{p}^l(\varepsilon)} G^l(\varepsilon) \int_0^{\infty} dR \int_0^{r_R} dr r^2 \frac{P_N(R) P_e(r)}{1 + \Gamma^l(\varepsilon) t_l(r)}. \quad (32)$$

Величина  $\sigma_{\Phi\Pi}^l(\varepsilon)$  описывает парциальный вклад в фотопроводимость носителей сорта  $l$ , совершающих туннельный прыжок из состояний с энергией связи  $\varepsilon$ .

Система уравнений (14)–(18) решалась численно методом итераций. Расчет проводился при значениях параметров, характерных для электронов в аморфном гидрогенизированном кремнии:  $a_0 = a_e = 12 \text{ \AA}$ ,  $\omega_e = 10^{12} \text{ с}^{-1}$ ,  $\tau_0 = 10^{-8} \text{ с}$ . Для простоты использовались одни и те же значения  $a_l$ ,  $\omega_l$  для электронов и дырок. В этом случае  $T_e = T_h = 2\tau(R_N)$ ,  $G_e^e = G_h^h$ ,  $G_{\pm 1}^l = G/2$ . Предполагалось симметричное экспоненциальное спадание плотности локализованных состояний для электронов и дырок в глубь щели подвижности:

$$g^l(\varepsilon_l) = g_0 \exp(-\varepsilon_l/\varepsilon_0), \quad (33)$$

где  $\varepsilon_0$  удовлетворяет неравенству  $\varepsilon_0 \ll E_0$ . Для определенности мы положили  $g_0 \varepsilon_0 = 7.5 \cdot 10^{19} \text{ см}^{-3}$ . Заметим, что при расчете удобно перейти к безразмерным переменным  $\varepsilon/\varepsilon_0$ ,  $G\tau_0/g_0\varepsilon_0$ ,  $n(\varepsilon)/g_0$ ,  $\bar{p}(\varepsilon)/g_0\varepsilon_0$ .

На рис. 1 представлены результаты расчета функции распределения электронов для трех различных значений скорости генерации  $G$ . В области  $\epsilon > \epsilon_m$ , где  $\epsilon_m$  — точка максимума функции  $n(\epsilon)$ , локализованные состояния почти полностью заполнены:  $n(\epsilon) \simeq g(\epsilon)$ . Штриховыми стрелками указаны значения, которые рассчитаны по приближенной формуле [3]

$$\epsilon'_m = \epsilon_0 \ln(g_0 \epsilon_0 / N), \quad (34)$$

найденной в предположении  $n(\epsilon) = g(\epsilon)$  при  $\epsilon > \epsilon'_m$  и  $n(\epsilon) = 0$  при  $\epsilon < \epsilon'_m$ . В [4] для нахождения функции  $n(\epsilon)$  время жизни носителей  $\tau$  фиксировалось и использовалась формула

$$n^i(\epsilon) = c^i g^i(\epsilon) \exp[-V(\tau) \bar{r}_i(\epsilon)], \quad (35)$$

где коэффициент  $c^i$  не зависит от  $\epsilon$ ,  $V(\tau) = 4\pi r_i^3(\tau)/3$ ,  $r_i(\tau) = (a_i/2) \ln \omega_i \tau$ . При этом время  $\tau$  теоретически не рассчитывалось, а оценивалось из дополнительных экспериментальных данных. Функция (35) отличается от  $n_1(\epsilon)$  в (30) лишь мно-

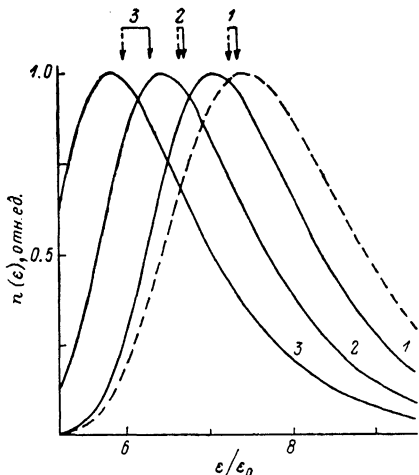


Рис. 1. Энергетическая функция распределения локализованных фотоэлектронов, рассчитанная для трех значений скорости генерации.  $G$ ,  $\text{см}^{-3} \cdot \text{с}^{-1}$ : 1 —  $2.2 \cdot 10^{17}$ , 2 —  $2.4 \cdot 10^{16}$ , 3 —  $1.1 \cdot 10^{21}$ , при которых  $N = 5 \cdot 10^{16}$ ,  $10^{17}$ ,  $2 \times 10^{17} \text{ см}^{-3}$  соответственно.

Штрихами показано распределение, полученное при  $G = 2.2 \cdot 10^{17} \text{ см}^{-3} \cdot \text{с}^{-1}$  в пренебрежении заселенностью состояний. Штриховыми и сплошными стрелками указаны приближенные значения  $\epsilon'_m$  и  $\epsilon_m$  [см. (35), (37)].

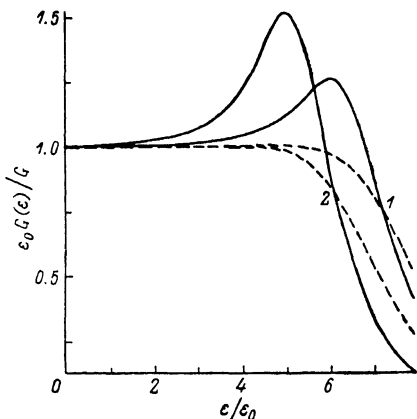


Рис. 2. Скорость генерации частиц  $G(\epsilon)$  в состоянии с энергией связи  $\epsilon$ , рассчитанная при разных  $G$ .

$G$ ,  $\text{см}^{-3} \cdot \text{с}^{-1}$ : 1 —  $2.2 \cdot 10^{17}$ , 2 —  $1.1 \cdot 10^{21}$ . Сплошные линии — точный расчет, штриховые — расчет в пренебрежении заселенностью локализованных состояний.

жителем  $f_1(\epsilon)$ . Оценки показывают, что в актуальной области значений  $\epsilon$  степень заселенности  $f_1(\epsilon)$  меняется не очень сильно и приближение (35) применимо, если положить  $\tau = T_I$ . Сплошными стрелками на рис. 1 указано значение

$$\epsilon''_m = \epsilon_0 \ln[g_0 \epsilon_0 V(r_N)], \quad (36)$$

при котором достигает максимума функция  $g(\epsilon) \exp[-V(r_N) \rho(\epsilon)]$ . По сравнению с (30) у этой функции отсутствует множитель  $f_1(\epsilon)$ , и произведена замена  $\bar{\rho}(\epsilon) \rightarrow \rho(\epsilon)$ . Заметим, что при построении теории изначально было заложено предположение  $N_0, N_{-1} \ll N_1 \equiv N$ , где  $N_s = \int n_s(\epsilon) d\epsilon$ . Численные оценки показывают, что действительно величина  $N$  превышает  $N_0, N_{-1}$  примерно на порядок.

На рис. 2 изображена энергетическая плотность скорости генерации  $G(\epsilon)$ . Согласно (14),  $G(0) = G \bar{g}(0) / \bar{\rho}(0) \simeq G / \epsilon_0$ , поэтому удобно изображать эту функцию в безразмерных единицах  $\epsilon_0 G(\epsilon) / G$ . В области малых значений  $\epsilon$ , при которых  $w_0(\epsilon) \simeq 1$ , имеем, согласно (14), (23),

$$G(\epsilon) \simeq G \bar{g}(\epsilon) / \bar{\rho}(\epsilon). \quad (37)$$

Функция  $G(\epsilon)$ , рассчитанная в пренебрежении заселенностью локализованных состояний, монотонно убывает (рис. 2, штриховые кривые). Учет заселенности приводит к тому, что вначале функция  $G(\epsilon)$  возрастает [так как  $\bar{g}(\epsilon)/\bar{\rho}(\epsilon) > g(\epsilon)/\rho(\epsilon) = \epsilon_0^{-1}$ ], достигает максимума в области, примыкающей к  $\epsilon_*$  слева, и затем резко убывает. Для трех значений скорости генерации, при которых рассчитывались кривые на рис. 1, среднее число туннельных прыжков  $Q$  составляет 7.4, 7.1 и 6.8 соответственно.

Спектральные зависимости интенсивности люминесценции  $J(h\nu)$  и первой производной  $dJ(h\nu)/d(h\nu)$  изображены на рис. 3. Полоса люминесценции асимметрична, на коротковолновом участке интенсивность спадает круче. Расчет показывает, что функция  $G(\epsilon)\omega_{-1}(\epsilon)$  в (28) хорошо аппроксимируется функцией  $cn_1(\epsilon)$ . Поэтому положение максимума интенсивности, для которого  $dJ(h\nu)/d(h\nu) = 0$ , близко к значению  $E_0 - 2\epsilon_*$ , указанному на рис. 3 вертикальной стрел-

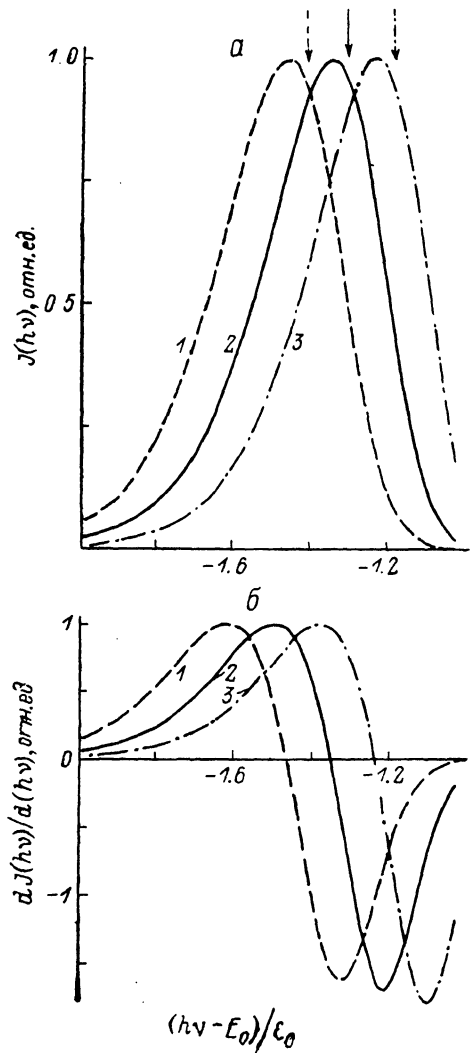


Рис. 3. Спектры интенсивности фотолюминесценции  $J(h\nu)$  (а) и первой производной  $dJ(h\nu)/d(h\nu)$  (б), рассчитанные при разной скорости генерации.  
 $G, \text{ см}^{-3} \cdot \text{с}^{-1}$ : 1 —  $2.2 \cdot 10^{17}$ , 2 —  $2.4 \cdot 10^{19}$ , 3 —  $1.1 \cdot 10^{21}$ . Стрелками указаны значения  $2\epsilon_*/\epsilon_0$ , где  $\epsilon_*$  — положение максимума функции  $n(\epsilon)$ .

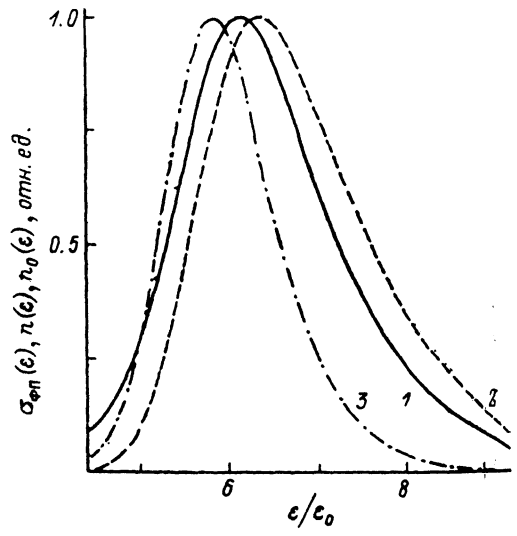


Рис. 4. Энергетическое распределение фотопроводимости  $\sigma_{ФП}(\epsilon)$  (1), функция распределения локализованных фотоэлектронов  $n(\epsilon)$  (2) и функция распределения  $n_0(\epsilon)$  фотоэлектронов, совершающих туннельные прыжки вниз по энергии (3).  
 Расчет проведен для скорости генерации  $G = 2.4 \times 10^{19} \text{ см}^{-3} \cdot \text{с}^{-1}$ .

кой. При сравнении теоретических спектров, рассчитанных по формуле (28), с экспериментальными необходимо убедиться в том, что в условиях эксперимента реализуется режим междупарной рекомбинации. С ростом скорости генерации максимум медленно сдвигается в коротковолновую область в соответствии с двойной логарифмической зависимостью величины сдвига от  $G$  [8].

Расчет показывает, что для выбранных значений параметров зависимость фототока (32) от  $G$  может быть аппроксимирована степенным законом  $j \propto G^\gamma$ , где  $\gamma \approx 0.95$ . При значениях  $G = 2.2 \cdot 10^{17}, 2.4 \cdot 10^{19}$  и  $1.1 \cdot 10^{21} \text{ см}^{-3} \cdot \text{с}^{-1}$  величина  $j/(eEG)$  составляет  $10.7 \cdot 10^{-11}, 8.45 \cdot 10^{-11}$  и  $7.05 \cdot 10^{-11} \text{ см}^2/\text{В}$  соответственно. На рис. 4 изображено энергетическое распределение фотопроводимости  $\sigma_{ФП}(\epsilon)$ , определенное согласно (32).

В [5] величина  $j/(eEG)$  измерялась экспериментально при  $G=3 \cdot 10^{20}$  см<sup>-3</sup>·с<sup>-1</sup> и для нелегированного образца  $a$ -Si : H были получены значения порядка  $5 \times 10^{-11}$  см<sup>2</sup>/В. Для показателя степени  $\gamma$  эксперимент дает значение  $0.97 \pm 0.03$ . Видно, что результаты нашего расчета неплохо согласуются с экспериментальными данными.

В заключение заметим, что развитый здесь теоретический подход может быть использован для расчета низкотемпературной высокочастотной фотопроводимости, изменения фотопроводимости под действием инфракрасной подсветки, а также временной кинетики фотолюминесценции и фотопроводимости после выключения стационарного освещения.

#### Список литературы

- [1] Барановский С. Д., Ивченко Е. Л., Шкловский Б. И. // ЖЭТФ. 1987. Т. 92. В. 6. С. 2234—2244.
- [2] Барановский С. Д., Фрицше Х., Левин Е. И., Рузин И. М., Шкловский Б. И. // ЖЭТФ. 1989. Т. 96. В. 10. С. 1362—1381. Shklovskii B. I., Fritzsche H., Baranovskii S. D. // Phys. Rev. Lett. 1989. V. 62. N 25. P. 2989—2992.
- [3] Барановский С. Д., Шкловский Б. И. // ФТП. 1989. Т. 23. В. 1. С. 146—151.
- [4] Dunstan D. J., Boulitrop F. // Phys. Rev. B. 1984. V. 30. N 10. P. 5945—5957.
- [5] Hoheisel M., Carius R., Fuhs W. // J. Non-Cryst. Sol. 1984. V. 63. N 3. P. 313—319.

Физико-технический институт  
им. А. Ф. Иоффе АН СССР  
Ленинград

Получена 15.08.1989  
Принята к печати 6.09.1989